

地域特性を考慮した津波避難困難区域の評価 —南海トラフ巨大地震における和歌山県串本町を例として—

湊 文博¹・秦 吉弥¹

¹ 大阪大学 大学院工学研究科 地球総合工学専攻 (〒565-0871 大阪府吹田市山田丘2-1)

和歌山県串本町では、南海トラフ巨大地震の発生によって、強震動の作用のみならず、本震発生の数分後に巨大津波の来襲が予想されている。本稿では、まず、串本町の津波来襲予想地域を対象に、強震動予測を高密度に行い、強震動作用中の避難不可能時間を評価した。次に、強震動予測地点から指定避難場所までの歩行所要時間に関する計測実験を行い、避難所要時間を評価した。最後に、避難余裕時間に基づく手法を提案し、その手法を用いて津波避難困難区域の評価を行うとともに、津波避難施設が今後新設された場合の減災効果についても言及した。

キーワード：強震動，巨大津波，歩行実験，ハイブリッド評価

1. はじめに

2011年東北地方太平洋沖地震(M_w 9.0)の発生を受け、南海トラフにおいても、 M_w 9.0程度の巨大地震(以後、南海トラフ巨大地震と呼ぶ)を想定した強震動予測が概ね1kmメッシュ毎に実施¹⁾されている。和歌山県串本町(図-1参照)は、以下に示す理由により、南海トラフ巨大地震時に非常に大きな強震動の作用が予想される。第一に、図-1に示すように想定震源域の近傍に位置¹⁾していること(震源特性の影響)、第二に、街地・平地(津波来襲予想地域²⁾：図-2参照)の大部分が軟弱な砂洲地盤で主に構成³⁾⁴⁾されていること(地盤震動特性の影響)、第三に、近年の大規模地震(2006年7月に発生したインドネシア中部・ジャワ島の地震： M_w 7.7)においても砂洲地盤上の地域(パガンダランの町)では深刻な被害が報告⁶⁾されていること、第四に、歴史地震(1946年南海地震)において強震動の作用による被害が串本町では比較的大きかったことが報告⁷⁾されていること、第五に、想定南海地震(M 8.4)の推定地震動による深刻な建物被害が串本町では予想⁸⁾されていること、などがその理由である。

この点に関して著者ほかは、串本町の津波来襲予想地域において高密度の常時微動計測を実施⁹⁾し、地盤震動特性を評価¹⁰⁾することで、南海トラフ巨大地震による震源断層モデル(図-1参照)¹⁾に基づく強震波形計算¹¹⁾を行い、串本町の津波来襲予想地域に作用する強震動を高密度に予測¹²⁾している。さらに、予測した強震動の瞬間計測震度¹³⁾の時刻歴に基づき避難不可能時間を計算¹⁴⁾し、強震動の作用が津波避難に及ぼす影響について検討¹⁵⁾を行っている。

一方で、串本町の街地・平地では、南海トラフ巨大地震の発生後数分で巨大津波の来襲が予想²⁾¹⁶⁾されている。しかしながら、和歌山県による津波避難困難地域の設定(2014年10月)¹⁷⁾などでは、上述した避難不可能時間を含んだ避難移動開始時間が一定(本震発生後一律5分)として取り扱われているだけでなく、避難移動速度も一定(1分間で30m避難移動可能)と仮定されており、対象とする地域の特性が十分に考慮されているとは言い難いのが現状である。したがって、巨大津波来襲前に着目した(a)強震動作用中の避難不可能時間(以後、避難不可能時間と呼ぶ)と、(b)強震動作用後の指定避難場所までの避難所要時間(以後、避難所要時間と呼ぶ)を、対象とする地域の特性を踏まえて評価し、両時間に関するハイブリッド評価を実施することは非常に重要である。

そこで本稿では、まず、串本町の津波来襲予想地域を対象に避難歩行時間に関する計測実験を行い、避難所要

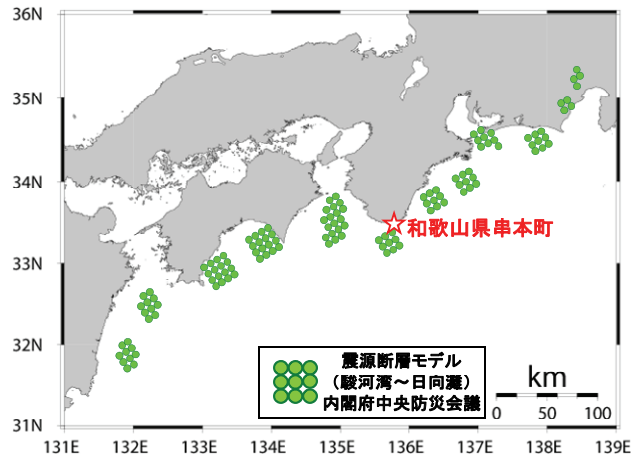


図-1 南海トラフ巨大地震における震源断層モデルと串本町

時間を評価した。次に、避難不可能時間と避難所要時間に関するハイブリッド評価を行うことによって、避難余裕時間に基づく提案手法を用いて、津波避難困難区域を抽出した。最後に、抽出した避難困難区域において津波避難施設が今後新設された場合の効果について言及した。

2. 強震動作用中の避難不可能時間

著者ほかは、図-3に示すように、串本町における津波来襲予想地域(面積1.06km²)において高密度常時微動計測(単点で525地点計測)⁹⁾を行っている(概ね45m四方に一つの常時微動計測点を設けている)。そして、津波来襲地域内における既存強震観測点(K-NET串本)と常時微動計測地点(計524地点)における常時微動H/Vスペクトルのピーク周波数(図-3参照)等の比較に基づき、常時微動計測地点(計524地点)における地盤震動特性(地震時の揺れ方の特性)を評価¹⁰⁾している。さらに、南海トラフ巨大地震による震源断層モデル(駿河湾～日向灘:図-1参照)と地盤震動特性を考慮した強震波形計算手法^{11),18)}の組合せに基づいて、津波来襲予想地域の高密度常時微動計測地点ごとに予測される地震動を算定¹²⁾することで、強震動の作用が津波避難に及ぼす影響について検討¹⁵⁾を行っている。図-4は、避難不可能時間(瞬間計測震度¹³⁾の時刻歴に基づいて算定:図-5に示す一例参照)の津波来襲予想地域での分布¹⁵⁾である。図-4に示すとおり、地盤震動特性の差異によって、同じ串本町の津波来襲地域内においても避難不可能時間に有意な差異が確認できる。すなわち、南海トラフ巨大地震時における揺れ方の違い¹⁹⁾によって、串本町の津波来襲予想地域が有する津波避難パフォーマンスに有意な差異が表れているといえる。

3. 強震動作用後の避難場所までの所要時間

串本町の津波来襲予想地域における強震動予測地点(2.参照)から高台などの避難場所までの歩行時間(避難所要時間)に関する計測実験を行った。その際、串本町における最新の津波ハザードマップ(2014年3月)²⁰⁾などを参考に、以下に示すように、来襲津波の予想高に対して十分な余裕高を有する12か所を避難場所として選定した(以後、選定避難場所と呼ぶ)。

- ・ 消防防災センター
- ・ 雨天練習場付近
- ・ 矢ノ熊踏切急傾
- ・ 幼稚園横高台
- ・ 成和ビル
- ・ 図書館裏山
- ・ 本町通り裏山
- ・ ギオン山
- ・ 津波避難タワー
- ・ 雇用促進住宅
- ・ 串本古座高校体育館
- ・ Aコープ付近登り口

図-6は、選定避難場所に関するゾーニング結果である。ゾーニングに際しては、歩行計測実験の結果に基づいて、各々の歩行開始地点(各強震動予測地点:図-4参照)から選定避難場所までの歩行時間が最小になるようにゾーニ

ング²¹⁾を施した。各強震動予測地点から対応する選定避難場所(図-6参照)までの避難所要時間(現地での歩行計測時間)の最小値の分布を図-7に示す。ここに、歩行計測実験では、串本町の津波来襲予想地域における国勢調査(H22)の結果に基づき、図-8に示すように、単独歩行、群衆歩行、要支援者歩行の3つの避難パターンを設定²¹⁾した。図-8の枠内写真に示すように、単独歩行のケースは人物A(22歳男性)が単独で歩行を行い、群衆歩行のケ

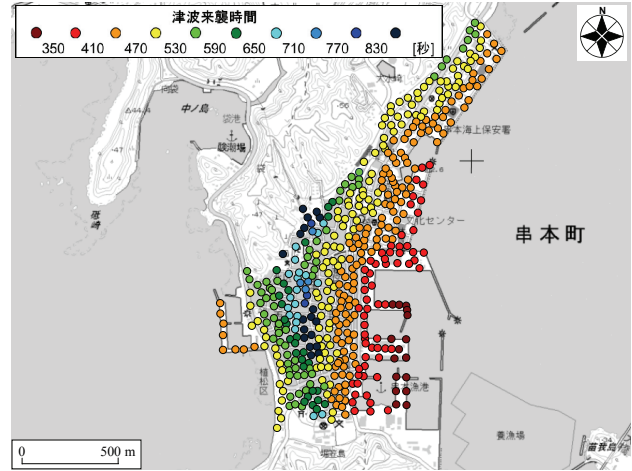


図-2 南海トラフ巨大地震による津波来襲時間²⁾の分布

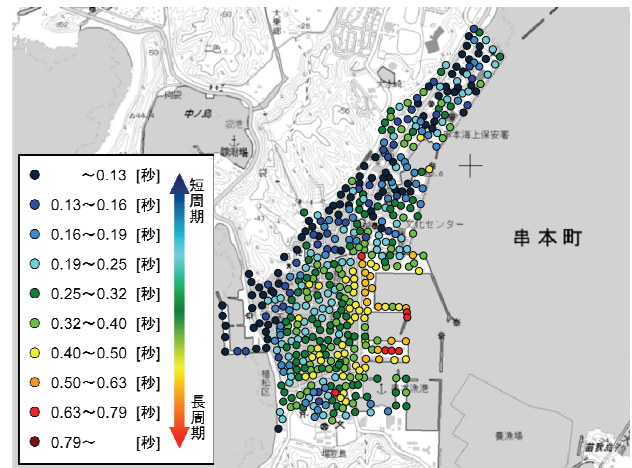


図-3 常時微動H/Vスペクトルのピーク周波数¹⁰⁾の分布

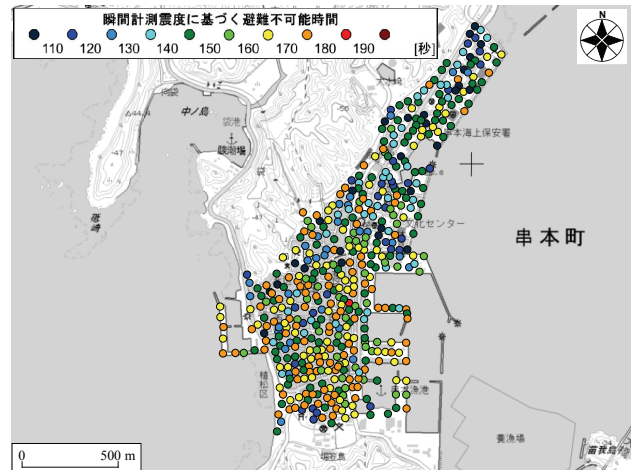


図-4 強震動作用中の避難不可能時間¹⁵⁾の分布

裕時間の分布である。ここに、避難余裕時間は、本震発生後の津波来襲予想時間(図-2参照)²⁾に対して、2.で述べた強震動作用中の避難不可能時間(図-4参照)¹⁵⁾と、3.で述べた強震動作用後の避難所要時間(図-7参照)を差し引くことによって算定した。すなわち、避難余裕時間が正の値であれば避難に対して時間的余裕があるのに対し、避難余裕時間が負の値であれば避難に対して時間的余裕がないことを意味している。図-9に示すように、串本町の津波来襲予想地域において避難余裕時間の分布は一様ではなく、津波避難パフォーマンスに有意な差異があることが確認できる。また、北東部の埋立地域において避難余裕時間が集中的に小さな値(マイナスの時間値)を示しており、今後、当該地域において何らかの津波避難対策を講じる必要性が示唆される。

(2) 避難困難区域における対策効果

4.(1)で抽出された北東部の埋立地域(串本病院解体跡地: 図-9枠内写真参照)の活用については、串本町議会において現在議論²²⁾がなされていることから、本節では、当該地域において、仮に津波避難施設(例えば、津波避難タワー²³⁾など)が新設された場合の減災効果について基礎的な検討を行った。

図-10は、串本病院解体跡地に津波避難施設が新設された場合の津波来襲予想地域における避難余裕時間の分布である。ここに、串本病院解体跡地に津波避難施設が新設されたものと仮定して、3.と同様の要領で歩行計測実験を再度実施し、図-11に示すような避難所要時間の分布を得た。そして、その分布結果を適宜反映させることで避難余裕時間を新たに算定した。図-10に示すように、津波避難施設を仮新設した北東部の埋立地域付近において避難余裕時間が比較的長くなっていることから、津波避難施設が新設された場合の効果が顕著に表れている。一方で、JR串本駅周辺において避難余裕時間が比較的短くなっているのが読み取れる。JR串本駅は本州最南端の駅であり(図-10枠内写真参照)、土地勘のない観光客が駅周辺に多く滞在している可能性が高く、串本町内の住民以外の観光客等を考慮した津波避難対策(例えば、地域防災計画等²⁴⁾への反映、観光客向けの津波避難マップの作成等)を今後講じていく必要がある。

5. まとめ

本研究では、和歌山県串本町の津波来襲予想地域を対象に、津波避難困難区域の抽出のための強震動予測と歩行実験の結果に関して、地域特性を考慮したハイブリッド評価を行った。以下に得られた知見を示す。

1) 串本町の津波来襲予想地域では、同地域における地盤震動特性の差異などによって、同地域が有する津波避難パフォーマンス(瞬間計測震度の時刻歴に基づく避難困難時間)に有意な差異が存在する。

- 2) 串本町の津波来襲予想地域では、既存の避難場所との位置関係などによって、同地域が有する津波避難パフォーマンス(避難場所までの歩行計測時間(避難所要時間))に有意な差異が存在する。
- 3) 上記(1)の避難困難時間と上記(2)の避難所要時間の組合せを行い、避難余裕時間を算定することで避難困難区域を評価した結果、北東部の埋立地域(串本病

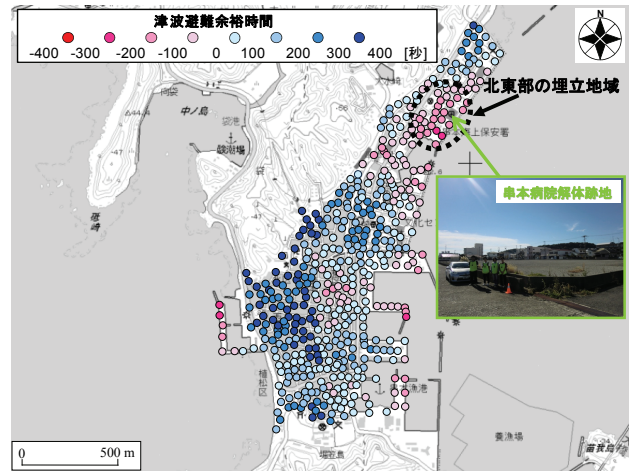


図-9 津波避難余裕時間に基づく避難困難区域の評価



図-10 津波避難余裕時間に基づく津波避難施設の新設効果

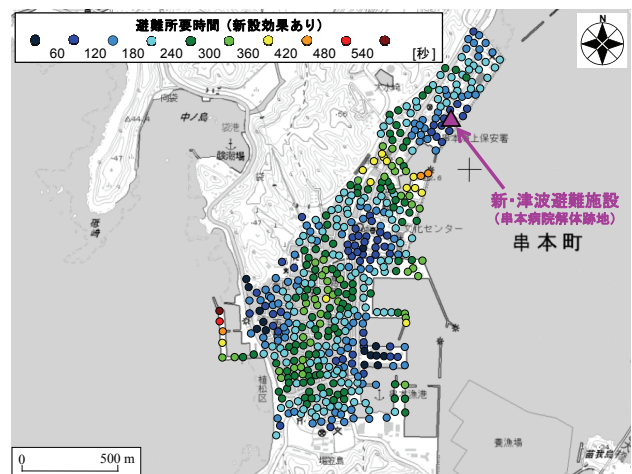


図-11 串本病院解体跡地における津波避難施設の新設効果を考慮した歩行計測実験による避難所要時間の分布

院解体跡地)において津波避難施設の新設の必要性が示唆される。

- 4) 津波来襲予想地域内に位置するJR串本駅周辺は、土地勘のない観光客が数多く滞在している可能性が高く、串本町内の住民以外の観光客などにも配慮した津波避難対策を今後講じていく必要性が示唆される。今後は、串本町以外の地域に対して、本稿で提案したハイブリッド評価手法を適用していきたいと考えている。

謝辞：高密度常時微動計測および歩行実験の実施にあたっては、串本町の住民の皆様は大変お世話になりました。串本町における既存の防災資料を串本町役場よりご提供いただきました。本研究の遂行にあたり、常田賢一教授(大阪大学)、小山真紀准教授(京都大学)、鍛田泰子准教授(神戸大学)にそれぞれご支援いただきました。(公社)地盤工学会関西支部南海トラフ巨大地震に関する被害予測と防災対策研究委員会の委員の皆様には、有意義なご意見をいただきました。ここに記して謝意を表します。

参考文献

- 1) 南海トラフの巨大地震モデル検討会：南海トラフの巨大地震モデル検討会(第二次報告)、強震断層モデル編一強震断層モデルと震度分布について一、内閣府防災情報ホームページ, 2012. (最終閲覧日：2015年6月1日)
- 2) 和歌山県地震・津波被害想定検討委員会：南海トラフの巨大地震及び東海・東南海・南海3連動地震による津波浸水想定について、和歌山県総務部危機管理局総合防災課ホームページ, 2013. (最終閲覧日：2015年6月1日)
- 3) 串本町史編さん委員会：串本町史(通史編)、第一法規出版, 1071p., 1995.
- 4) 串本町史編さん委員会：串本町史(史料編)、第一法規出版, 1094p., 1988.
- 5) 穴倉正展, 前杵英明, 越後智雄, 小俣雅志, 郡谷順英, 渋谷典幸：南海トラフ沿いの和歌山県串本町で検出された完新世イベント堆積物, 日本地球惑星科学連合連合大会 2013年大会予稿集, Paper No.SSS31-35, 2013.
- 6) Reese, S., Cousins, W.J., Power, W.L., Palmer, N.G., Tejakusuma, I.G., and Nugrahadi, S.: Tsunami vulnerability of buildings and people in South Java -field observations after the July 2006 Java tsunami, *Natural Hazards and Earth System Sciences*, Vol.7, pp.573-589, 2007.
- 7) 建設院第一技術研究所：昭和二十一年十二月二十一日東南地震調査報告、建設院第一技術研究所概報, 第十六号, 昭和二十三年六月, 1948.
- 8) 包那仁満都拉, 川瀬博：強震ネットワークデータから構築した広周波数帯域統計的グリーン関数とその南海地震への応用, 日本地震工学会論文集, Vol.7, No.2, pp.80-95, 2007.
- 9) 湊文博, 秦吉弥, 山田雅行, 常田賢一, 魚谷真基：常時微動 H/V スペクトルに基づく和歌山県串本町での地盤震動特性の評価, *Kansai Geo-Symposium 2014* 論文集, 地盤工学会, pp.95-100, 2014.
- 10) 湊文博, 秦吉弥, 山田雅行, 常田賢一, 魚谷真基：超高密度常時微動計測に基づく和歌山県串本町における津波来襲地域での地盤震動特性の評価, 第34回地震工学研究発表会講演論文集, 土木学会, Paper No.580, 2014.
- 11) 湊文博, 秦吉弥, 山田雅行, 常田賢一, 魚谷真基：超高密度常時微動計測に基づく和歌山県串本町における津波来襲地域でのサイト増幅特性の評価, 第14回日本地震工学シンポジウム論文集, 日本地震工学会, pp.3689-3697, 2014.
- 12) 湊文博, 秦吉弥, 山田雅行, 常田賢一, 鍛田泰子, 魚谷真基：サイト特性を考慮した南海トラフ巨大地震による和歌山県串本町における津波来襲地域での強震動の超高密度予測, 第59回地盤工学シンポジウム論文集, 地盤工学会, pp.395-402, 2014.
- 13) 鍛田泰子, 齊藤栄：瞬間計測震度をを用いた揺れ最中の避難行動可能時間の定量化, 日本地震工学会論文集, Vol.10, No.5, pp.52-65, 2010.
- 14) 湊文博：強震動と津波避難に関するハイブリッド評価一南海トラフ巨大地震による和歌山県串本町を例として一, 第4回サイエンスインカレ研究発表会要約集, 文部科学省, pp.24, 2015.
- 15) 湊文博, 秦吉弥, 山田雅行, 常田賢一, 鍛田泰子, 魚谷真基：高密度常時微動計測に基づく和歌山県串本町における南海トラフ巨大地震の強震動評価と津波避難に及ぼす影響, 土木学会論文集, Vol.71, No.4, 2015. [掲載決定]
- 16) 小笠原敏記, 中畑摩耶, 松林由里子, 堺茂樹：2011年東北地方太平洋沖地震における住民避難行動に関する現地調査一和歌山県串本町を対象として一, 土木学会論文集 B3, Vol.69, No.2, pp.1-37-42, 2013.
- 17) 和歌山県地震・津波被害想定検討委員会：和歌山県の津波避難困難地域と津波対策について, 和歌山県総務部危機管理局総合防災課ホームページ, 2014. (最終閲覧日：2015年6月1日)
- 18) 野津厚, 長尾毅, 山田雅行：経験的サイト増幅・位相特性を考慮した強震動評価手法の改良一因果性を満足する地震波の生成一, 土木学会論文集 A, Vol.65, No.3, pp.808-813, 2009.
- 19) Hata, Y. and Yamada, M.: Evaluation of site amplification and phase effects in Kushimoto Town, Wakayama Prefecture, Japan, *Proc. of 2nd European Conference on Earthquake Engineering and Seismology*, Paper No.631, Istanbul, Turkey, 2014.
- 20) 串本町役場総務課：津波ハザードマップ, 袋・串本・大水崎・鬮野川(東側)地区, pp.19-20, 2014.
- 21) 湊文博, 秦吉弥, 常田賢一, 鍛田泰子, 山田雅行, 魚谷真基：ウォーキング実験に基づく津波避難困難地域の評価一和歌山県串本町を例として一, 地域安全学会梗概集, No.35, pp.17-20, 2014.
- 22) 芝山定史：旧串本病院解体跡地について, 平成25年第3回串本町議会定例会一般質問通告, 11p., 2013.
- 23) 北出悟士, 馬場研介：広村堤防からみる津波避難タワーの有効性について一和歌山県串本町串本地区を参考にして一, 災害復興研究, 関西学院大学災害復興制度研究所, 第3号, pp.189-193, 2011.
- 24) 例えば, 太田和良, 西田治彦, 玉川純次：串本町総合的津波対策の取り組みについて, 地域安全学会論文集, No.8, pp.307-314, 2006.